

24 表面曝気、フロー・パターン (I)

— 縦型式 —

東北工業大学 工学部 正員。大沼正郎

東北工業大学 工学部 正員 羽田守夫

1. はじめに

エアレーション・タンクの流動状態と攪拌効果とを関連づけようとする研究はいくつもある。これらを分類してみると、流の平均的流動状態から検討するものと、流れの剪断流おもが乱流状態から検討するものとに分類される。前者については、フロー・パターン、吐出流量、それに循環流量などと攪拌・混合効果と関連づけ、最終的には混合モデルを作成する必要がある。

本稿では、その才1段階として、縦型表面攪拌方式にエアレーションをおこなう場合、エアレーション・タンクの流。フロー・パターンをトレーサー法により観測した結果を報告する。

2. 実験装置およびトレーサー法

エアレーション装置の概略は図-1に示した。攪拌羽根の枚数は2枚であり、水面において攪拌をおこなった。

次に2種類のトレーサー法によつてトレーサーの流跡を観測し、その結果から、流速を測定した。

a. ポリスチレン法：ポリスチレン粒子($\phi = 0.3\text{ cm}$,

長さ 0.5 cm)をトレーサーとし、エアレーション・

タンク内の流の比重をポリスチレン(比重 1.045)

と同じくならるよう)に食塩を調整し、ポリスチレン粒子の流跡をストロボ・フラッシュとカメラを使って

水面下 15 cm のところにアリットをあて観測した。

b. 水素気泡法：白金線($\phi = 0.01\text{ cm}$)を陰極とし、水の電気分解により陰極に発生する水素気泡をトレーサーとして、直流電流をパルス状に送り、水素気泡の流跡をストロボ・フラッシュとカメラを使って追跡した。

3. 実験方法

攪拌羽根はエアレーション・タンクの水面でその内部の流を攪拌した。その回転数は 50 、 100 、および 150 rpm であった。流速は円周方向のものおよび半径-鉛直方向のものについて測定をした。流跡を追跡するのに使つたトレーサー法として、前者にはポリスチレン法および水素気泡法、後者には水素気泡法のみを使つた。前者のポリスチレン法では、 $50 \sim 60$ 個のポリスチレン粒子の流跡、10枚前後、写真から1枚の合成写真を作成した。また水素気泡法については、陰極として白金線を水面下 10 、 15 、 20 、および 25 cm 、のところに設置し、それぞれの流跡を観測した。後者では、攪拌羽根、中心線 $\pm 310\text{ cm}$ の距離のところに白金線を設置し、トレーサーの流跡を観測した。

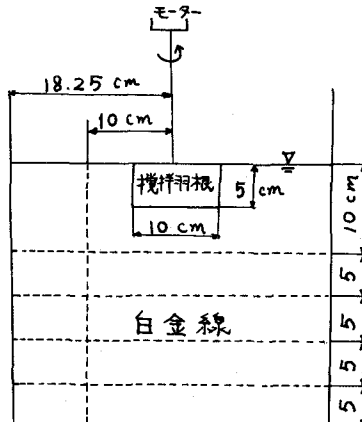


図-1 縦型表面攪拌装置

4. 実験結果

搅拌をはじなうと、エマレーシヨン・タンクの流の流れは円周方向のものと半径直立方向のものが発生し、前者を1次循環流、後者を2次循環流といわれる。

最初に1次循環流について検討した。搅拌羽根の回転数が50, 100および150 rpm である場合、水素気泡の流跡を観測すると、搅拌羽根の回転部とその外部では非常に異つた。回転部は非常に搅拌されて、水素気泡の流跡は非常に乱れて観測することは不可能である。一方、その外部においては、水素気泡の流跡は観測しやすかった。図・2、図・3および図・4には、回転数が50, 100, および150 rpm である場合、水素気泡法による流速分布をエマレーション・タンクの水深と関連づけて示した。

一般的に渦巻部における渦による流速は式・1および式・2で示されることがわかる。

$$r \geq a : v = \frac{w a^2}{r} \quad \dots \dots \dots \quad 1)$$

$$r \leq a : v = w a \quad \dots \dots \dots \quad 2)$$

但し、 r : 渦の中心からの距離

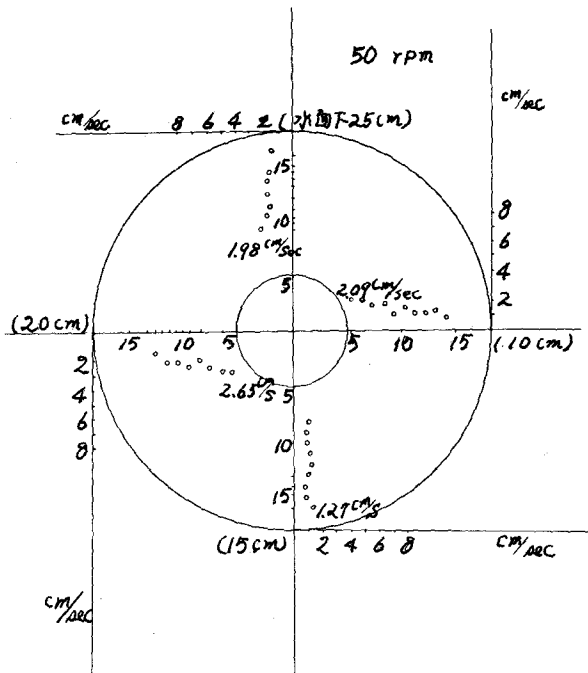
a : 渦の半径

w : 角速度

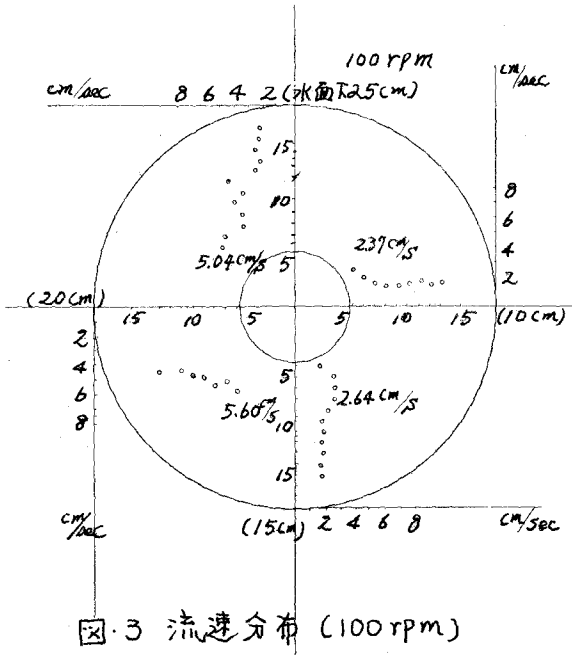
v : 流速

模型表面搅拌式エマレーション・タンクにおいて、搅拌機と渦発生機と考え、 a を搅拌羽根の半径と考え、式・2のとき $\frac{v}{v^*}$ (以後周速度と呼ぶ) とし、 $\frac{v}{v^*}$ と $\frac{a}{r}$ の関係を図・5に示した。この結果から、この勾配は約 0.1 であり、回転部外部における流速は式・3で示せることがわかる。

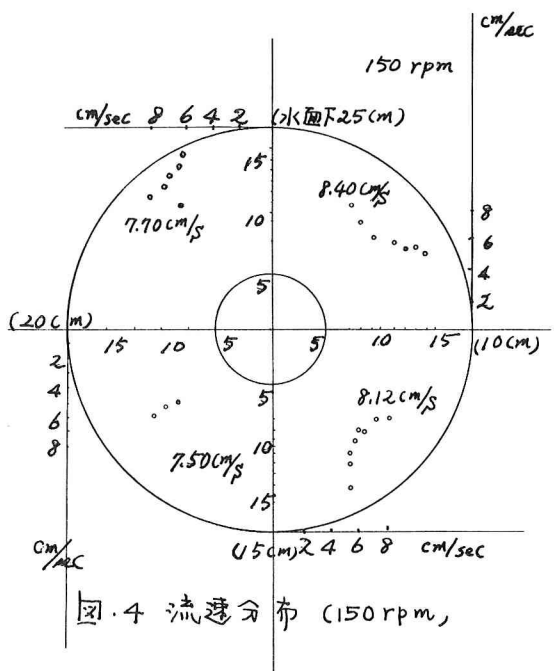
$$r \geq a : \frac{v}{v^*} = (0.1) \cdot \left(\frac{a}{r} \right) \dots \dots \dots \quad 3)$$



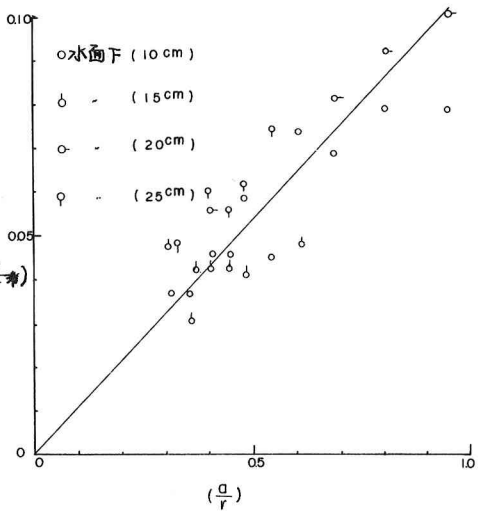
図・2 流速分布 (50 rpm)



図・3 流速分布 (100 rpm)



図・4 流速分布 (150 rpm)



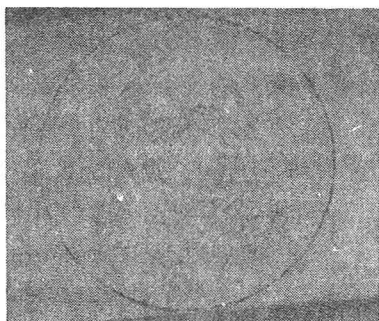
図・5 $\frac{V}{V^*}$ と $\frac{a}{r}$

搅拌羽根の回転数が 50 rpm の場合、ポリスチレンの流跡の観測例。今成写真を図・6 に示した。ポリスチレン液における流跡の観測は水面下 15 cm のところにストリットをあてておこなつた。

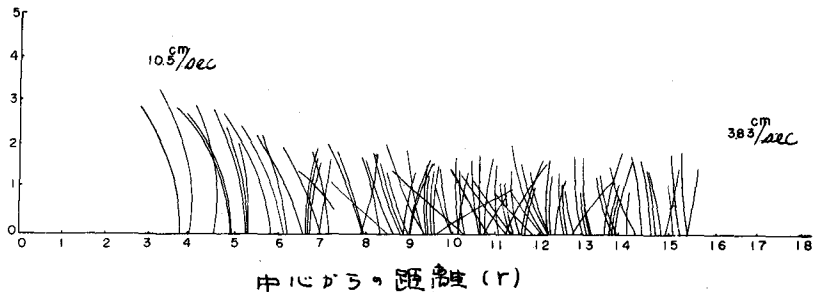
図・6 の結果を 1 枚の図に示したものを図・7 に示した。この結果 定性的にはポリスチレンの流跡と水素気泡のものは同じである。だがしながら、定量的には、ポリスチレン液による流速と水素気泡によるヒートヒートは異つてゐる。今後、前者の場合のストロボ・フラッシュの発光間隔および後者のパルス間隔の検定をおこなう必要があると考えられた。

また、2 次循環流についても、回転数が 150 rpm までの範囲では観測されなかつた。

以上のことから、1 次循環流と 2 次循環流を比較すると、前者が卓穂シテニヒダルガつた。エアレーション・タンクの流の搅拌を十分おこなうには、1 次循環のみならず



図・6 ポリスチレン流跡
(50 rpm)



図・7 オリスチレン流動 (50 rpm)

十分な2次循環流が発生するようにレインルバーナーと考へられた。

4. おわりに

エアレーション・タンクの液の流動状態と攪拌効果を測定する研究の第一段階として、模型表面攪拌方式でエアレーションとおこなう場合、エアレーション・タンクのフロー・パターンとトレーサー液により観測した結果、次に示すような事実がわかった。

- 1) 攪拌機と漏泄孔機とをも、回転部外部へふくる流速は周速度、攪拌羽根の半径、および攪拌羽根中心の距離の関数となる。
- 2) エアレーション・タンクの液の攪拌を十分おこなうには、1次循環流のみならず十分な2次循環流が発生しなければならないと考へられた。

謝辞

本研究をおこなうにあたり、種々の便宜とはゞつていただき大東北大学工学部教授坂本先生に感謝いたします。

参考論文

- 1) 田中実、東北大学修士学位論文、(昭44年3月)